

# IEEE 802.11b 무선랜에서의 성능 연구

민경수<sup>\*</sup> · 오태원<sup>\*\*</sup>

<sup>\*</sup>고려대학교

## Performance Study of IEEE 802.11b Wireless LAN AP

Kyoungsoo Min<sup>\*</sup> · Taewon Oh<sup>\*\*</sup>

<sup>\*</sup>Korea University

E-mail : hellomin@korea.ac.kr

### 요 약

본 논문에서는 IEEE 무선랜 AP에 여러개의 네트워크가 연결되어 있는 시스템, 즉 하나의 입력을 통해서 패킷이 집단 도착하여, 여러개의 서버를 통하여 서비스되는 시스템의 성능을 분석하기 위한 것으로서, 큐잉모델( $GI^{(k)}/M/c/N$ )을 이용하여 분석을 시도하였다. 본 논문에서는 평형상태 확률을 통하여 여러 가지 파라미터들을 알아보고, 각 파라미터들을 통하여 평균 대기시간, 차단확률 등을 살펴 보게 된다.

### ABSTRACT

In this paper, we analyse the performance of the system connected with several networks, that is, the system has one bulk input and several server by using queueing model -  $GI^{(k)}/M/c/N$ . In this paper we investigate some parameters from steady state probability and examine the average waiting time and blocking probability from those parameters

### 키워드

Performance, multi server, bulk input, WLAN AP

## I. 서 론

무선랜 시스템은 50m 이내의 범위에서 초고속 인터넷 속도에 버금가는 초당 1~11 메가 바이트 속도로 가정이나 사무실, 공공장소에서 무선 인터넷을 이용하는 것으로서 레이아웃 변경에 따른 재시공 불필요, 다양한 형태의 무선 네트워크 구성 가능, 긴급 및 임시 네트워크 구축 용이 등의 장점으로, 그 발전 가능성 및 이용성 역시 무한히 크다. 하지만, 무선랜의 AP(Access Point)가 기존의 network 연결방식인 이더넷(ethernet), ADSL or Cable-modem 등과의 연결이 이루어져야 하는데, 속도의 차이가 많이 나는 network 과의 연결시는 무선랜의 장점중의 하나인 빠른 속도를 효율적으로 이용할 수 없다.

본 논문은 무선랜과 다른 네트워크들을 연결한 경우의 성능(performance)를 측정/비교한다. 무선랜은 전송속도로써 1, 2, 5.5, 11 Mbps를 사용하는 시스템인 IEEE 802.11b의 프로토콜을 기준으로 설정하였고, 무선랜에 여러개의 네트워크 라인이 연결되어 시스템의 성능을 향상시키는 경우를 가

정하였다. 그리고, 시스템의 모델링을 위하여  $GI^X/M/c/N$  큐잉 시스템을 적용하였다.

본 논문은 다음과 같이 구성된다. 2장에서는 제안한 모델링을 전개하는데 있어서 필요한 기본적인 고려사항 및 시스템의 개요에 대해서 설명할 것이고, 3장에서는  $GI^X/M/c/N$ 의 모델링 분석을 위한 여러 파라미터를 살펴볼 것이다. 그리고 4장에서는 이 장에서는 성능 측정을 하기 위하여 평균 큐 길이(average queue length), 평균 시스템 길이(average system length) 그리고 첫 번째(first), 임의의(arbitrary) 도착, 마지막(last) 도착하는 패킷에 대한 차단확률(blocking probability)을 구할 것이며, 5장에서는 대기시간 분석을 시도할 것이다.

## II. 기본고려사항 및 모델링

하나의 무선랜 AP에 연결된 여러개의 네트워크

을 연결한 시스템을 가정하였는데, 이때 각 단말(STA, station)들간의 경쟁(Contention)이 끝난 후 선택된 하나의 STA와 AP간의 연결을 바탕으로 한 시스템이므로 단말간의 경쟁은 배제하였다. 이때 패킷들은 집단도착을 하며, 시스템은 유한한 N개의 버퍼와 c개의 서버를 가진다. 이 시스템을 분석하기 위하여 GI<sup>X</sup>/M/c/N 큐잉 시스템을 적용하였다. 이때의 크기 X를 가진 집단 도착은 P(X=i)=g<sub>i</sub> (i≥1)의 확률분포를 가지며, 그때의 평균 E(X) =  $\bar{g}$ 이다.

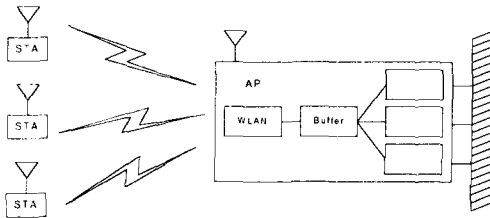


그림 1 여러 네트워크와 연결된 무선랜 AP

도착시간은 iid RV(Independently Identical Distributed Random Variable)로 설정할 수 있고, 그것의 cdf(Cumulative Distribution Function)는 A(u), pdf(Probability Density Function)는 a(u) u ≥ 0, 그리고 라플라스-스틸체스 변환은 A\*(θ)로 정의했다. 이때의 각 c개의 서버들은 서로 독립적이고 지수분포의 서비스 시간을 가지며, 평균 서비스 시간은 1/μ이다. 도착시간과 집단의 크기, 그리고 서비스 시간은 상호 독립적이고, 교통밀도는 ρ=g/acμ이다. 유한한 크기의 버퍼 때문에 패킷의 도착에 있어서, 남은 버퍼의 용량이 패킷의 크기보다 작을 때 두가지 경우를 가정한다. (i) 패킷이 도착하면 버퍼의 빈공간이 채워지고 남은 패킷들은 폐기(rejection)되는 경우 (ii) 패킷이 도착해도 전체 패킷이 다 폐기(rejection)되는 경우. 전자는 부분폐기(partial batch rejection), 후자는 전체폐기(total batch rejection)라고 한다.

III. 모델링 분석 - 시스템의 평형상태 확률

현존하는 패킷의 수를 N(t)라 하고, 다음 도착 때까지 남아있는 시간을 U(t)라고 하자. 그리고 다음과 같이 정의할 수 있다.

$$P_i(u, t)du = P\{N(t) = i, u \leq U(t) < u + du, u \geq 0, i = 0, 1, \dots, N\}$$

$$P_i(t) = P\{N(t) = i\} = \int_0^\infty P_i(u, t)du, i = 0, 1, \dots, N$$

우선 부분폐기의 경우, 시스템의 평형상태를 고려하여, 아래와 같은 식을 정의 할 수 있다.

$$P_i(u) = \lim_{t \rightarrow \infty} P_i(u, t), 0 \leq i \leq N,$$

$$A^*(\theta) = \int_0^\infty e^{-\theta u} dA(u),$$

$$P_i^*(\theta) = \int_0^\infty e^{-\theta u} P_i(u) du, 0 \leq i \leq N$$

$$\rightarrow P_i = P_i^*(0) = \int_0^\infty P_i(u) du, 0 \leq i \leq N$$

그리고 이때 prearrival의 평형상태 확률을 구할 수 있는데, 아래와 같다.

$$P_i^- = \frac{P_i(0)}{\sum_{i=0}^N P_i(0)} = aP_i(0), 0 \leq i \leq N$$

한편 prearrival(P<sub>n</sub><sup>-</sup>)일때와 arbitrary(P<sub>n</sub>) 일때의 패킷 숫자의 분포 사이의 관계에서 다음 식을 이끌어 낼 수 있다.

$$P_{k+1} = \frac{\rho c}{\min\{k+1, c\}g} \sum_{i=0}^k P_i^- \sum_{j=k-i+1}^{\infty} g_j, k = 0, 1, \dots, N-1$$

전체폐기의 경우 역시 같은 방법으로 구할 수 있다.

$$P_{k+1} = \frac{\rho c}{\min\{k+1, c\}g} \sum_{i=0}^k P_i^- \sum_{j=k-i+1}^{N-i} g_j, k = 0, 1, \dots, N-1$$

prearrival 때의 상태확률은

$$P_j^- = \sum_{i=0}^N P_i^- P_{ij}, 0 \leq j \leq N$$

과 같이 되는데, 이때의 한단계 전이확률인 P<sub>ij</sub>는 부분폐기의 경우에는

$$\left\{ \begin{aligned} &= \sum_{k=j-i}^{N-i} \beta_{i+k-j} g_k + \beta_{N-j} \sum_{k=N-i+1}^{\infty} g_k \\ & \qquad \qquad \qquad j) \quad i \geq 0, j \geq c \\ &= \sum_{k=1}^{N-j} \beta_{i+k-j} g_k + \beta_{N-j} \sum_{k=N-i+1}^{\infty} g_k \\ & \qquad \qquad \qquad c \leq j \leq i \\ &= \sum_{k=\max\{1, j-i\}}^{N-i} V_{i+k, j} g_k + V_{N, j} \sum_{k=N-i+1}^{\infty} g_k \\ & \qquad \qquad \qquad i \geq 0, 1 \leq j \leq c-1 \end{aligned} \right.$$

for j=0, P<sub>i0</sub>=1 -  $\sum_{j=1}^N P_{ij}$  과 같고

전체폐기의 경우에는

$$\left( \begin{aligned} &= \sum_{k=j-i}^{N-i} \beta_{i+k-j} g_k \quad j > i \geq 0, j \geq c \\ &= \sum_{k=1}^{N-i} \beta_{i+k-j} g_k + \beta_{i-j} \sum_{k=N-i+1}^{\infty} g_k \quad c \leq j \leq i \\ &= \sum_{k=\max\{1, j-i\}}^{N-i} V_{i+k, j} g_k + V_{i, j} \sum_{k=N-i+1}^{\infty} g_k \\ &\quad i \geq 0, 1 \leq j \leq c-1 \end{aligned} \right)$$

과 같이 놓을 수 있다.

여기서  $V_{k,j}$ 는 state  $n$ 에서  $n+1$ 로 진행할 때 interarrival time인  $T_{n+1}$  동안  $(k-j)$  서비스의 완료가 되는 확률이며,  $\beta_j$ 는  $T_{n+1}$  동안  $j$ 개의 출발을 의미한다.

지수분포의 경우

$$V_{k,j} = \frac{\lambda}{\mu} \left( \frac{c\mu}{\lambda + c\mu} \right)^{k-c} \frac{c! \Gamma(j + \lambda/\mu)}{j! \Gamma(c + \lambda/\mu + 1)}$$

$$k > c, 0 \leq j \leq c-1$$

$$\beta_j = \frac{\lambda}{\lambda + c\mu} \left( \frac{c\mu}{\lambda + c\mu} \right)^j \text{과 같으며,}$$

평균  $a=1/\lambda$ 를 가지는 Erlang- $r$  분포의 경우는,

$$V_{k,j} = \frac{(c\mu)^{k-c} c! (r\lambda)^r (-1)^{r-1}}{\mu j! (r-1)!} \frac{d^{r-1}}{d(r\lambda)^{r-1}}$$

$$\times \left[ \frac{\Gamma(r\lambda/\mu + j)}{(c\mu + r\lambda)^{k-c} \Gamma(c + r\lambda/\mu + 1)} \right]$$

$$\beta_j = \frac{(r\lambda)^r (c\mu)^j (j+r-1)!}{j! (r-1)! (c\mu + r\lambda)^{j+r}} \text{이다.}$$

#### IV. 성능 측정 요소

이 장에서는 성능 측정을 하기 위하여 평균 큐 길이(average queue length), 평균 시스템 길이(average system length) 그리고 첫 번째(first) 도착, 임의의(arbitrary) 도착, 마지막(last) 도착하는 패킷에 대한 차단확률(blocking probability)을 구할 것이다.

이때의 큐길기와 시스템의 길이는 아래와 같이 정의한다.

$$L_q = \sum_{i=1}^N (i-c) P_i, \quad L = \sum_{i=1}^N i P_i$$

차단확률은 부분폐기와 전체폐기 두가지로 나누어서 구할 수 있는데, 우선 부분폐기의 경우는

$$P_{BF} = P_N, \quad P_{BA} = \sum_{i=0}^N P_i^- \sum_{j=N-i}^{\infty} g_j^- \text{과 같고}$$

$$, \quad P_{BL} = \sum_{i=0}^N P_i^- \sum_{j=N-i+1}^{\infty} g_j^-$$

전체폐기의 경우는 다음과 같다.

$$P_{BF} = P_{BL} = \sum_{i=0}^N P_i^- \sum_{j=N-i+1}^{\infty} g_j^-$$

$$, \quad P_{BA} = \sum_{i=0}^N P_i^- \sum_{j=N-i+1}^{\infty} \frac{j g_j^-}{g^-}$$

$$\text{where, } g_i^- = (1/g^-) \sum_{j=i+1}^{\infty} g_j^-, \quad i=0, 1, \dots$$

#### V. 대기시간

이 장에서는 위에서 나눈 세가지 경우(각 경우는 FCFS(First Come First Served))에 대한 각각의 평균 대기시간을 분석하는데, 뒷장들에서 구한 값들과 리틀의 법칙(Little's rule)을 이용하여 쉽게 구할 수 있다.

우선 부분폐기의 경우는

$$W_{qF} = \frac{1}{c\mu(1-\rho_{BF})} \sum_{i=0}^{N-1} [i-c+1]^+ P_i^-$$

$$W_{qA} = \frac{1}{c\mu(1-\rho_{BA})} \left[ P_0^- \sum_{i=0}^{N-1} [i-c+1]^+ g_i^- \right.$$

$$\left. + \sum_{i=1}^{N-1} P_i^- \sum_{j=0}^{N-i-1} [i+j-c+1]^+ g_j^- \right]$$

$$W_{qL} = \frac{1}{c\mu(1-\rho_{BL})} \sum_{i=0}^{N-1} P_i^- \sum_{j=1}^{N-i} [i+j-c]^+ g_j^-$$

과 같고, 전체 폐기의 경우에는 아래와 같다.

$$W_{qF} = \frac{1}{c\mu(1-\rho_{BF})} \sum_{i=1}^{N-1} [i-c+1]^+ P_i^- \sum_{j=i}^N g_j^-$$

$$W_{qA} = \frac{1}{c\mu g(1-\rho_{BA})} \left[ P_0^- \sum_{i=1}^N g_i^- \sum_{j=0}^{i-1} [j-c+1]^+ \right.$$

$$\left. + \sum_{i=1}^{N-1} P_i^- \sum_{j=i}^N g_j^- \sum_{k=0}^{i-1} [i+k-c+1]^+ \right]$$

$$W_{qL} = \frac{1}{c\mu(1-\rho_{BL})} \sum_{i=0}^{N-1} P_i^- \sum_{j=1}^{N-i} [i+j-c]^+ g_j^-$$

#### VI. 분석

패킷이 Geometric 집단도착을 한다는 가정하에서 다음과 같은 컴퓨터 실험을 통하여 아래와 같이 알아보았다. 이때의 평균 집단 크기는 4로 가정하였고, 서버의 수는 1개로 제한하였으며, 전체 폐기와 부분폐기 두가지로 알아보았다.

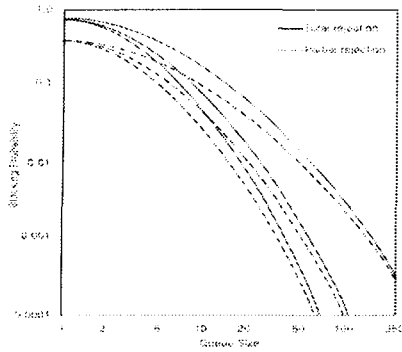


그림 2 차단확률과 큐크기

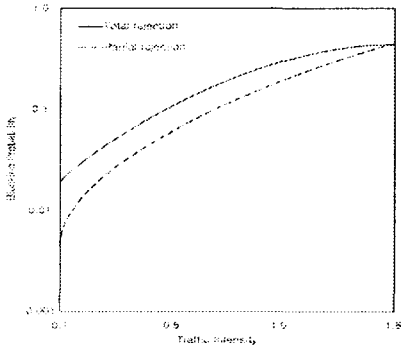


그림 3 차단확률과 교통밀도

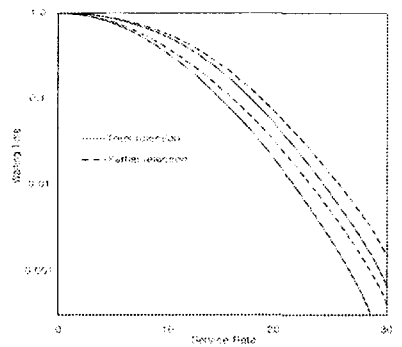


그림 4 대기시간 분포함수

하여 분석을 시도하고, 유한한 버퍼의 크기 때문에 생길 수 있는 패킷의 손실을 부분폐기(Partial Rejection)와 전체폐기(Total Rejection)의 두가지 경우로 고려하여 생각해보았다.

위의 결과들을 통하여 차단확률 및 대기시간은 버퍼의 크기나, 교통밀도 등의 영향을 많이 받는다는 사실을 확인 할 수 있었으며, 이 결과들을 통하여 상황에 맞는 적절한 시스템을 구사할 수 있을 것이다.

참고문헌

- [1] D. Gross and C. M. Harris, "Fundamentals of Queueing Theory, 3rd ed. Wiley, 1983
- [2] M. R. Spiegel, "Mathematical handbook of formulas and tables", Schaum's Outline Series, McGraw-Hill, 1968
- [3] I.S. Gradshteyn and I.M. Ryzhik, "Table of integrals, series and products", Academic Press, 1980
- [4] David R. Manfield and P. Tran-Gia "Analysis of a finite storage system with batch input arising out of message packetization", IEEE Trans. Comm. 30(3) 456-463 1982
- [5] G.J. Franx and U.V. Amsterdam, "A simple solution for the M/D/c waiting time distribution", Operations Research Letters, 1995
- [6] H.W. Lee, "Queueing Theory", Sigma Press, 1998
- [7] R.L. Larsen and A.K. Agrawala, "Control of a heterogeneous two-server exponential queueing system, IEEE Trans. Software Eng. 9 522-536, 1983
- [8] W. Lin and P.R. Kumar, "Optimal control of a queueing system with two heterogeneous servers, IEEE Trans. Automat. Control 29, 696-703, 1984

IV. 결 론

본 논문에서는 무선랜의 AP에 여러 네트워크들이 접속이 되어있는 시스템을 분석하기 위해서 집단도착을 하는 하나의 입력에 여러 개의 출력과 유한한 버퍼를 갖는 시스템을 분석해보았다.

가장 일반적인 상태를 고려하기 위하여  $GI^{(k)}/M/c/N$  대기행렬 시스템을 적용하였으며, 큐 및 시스템의 길이, 차단확률과 대기시간을 통